

IMAGE EN OPHTALMOLOGIE

Imagerie multimodale du noir sans pression rétinien : à propos d'un cas.

Multimodal imaging in retinal dark without pressure: a case report.

Safa Ben Aoun*, Hela Sassi, Rym Maamouri, Mossab Mefteh, Molka Ferchichi, Monia Cheour.

Service d'Ophtalmologie, Hôpital Habib Thameur, Tunis, Tunisie
Faculté de Médecine de Tunis, Université Tunis el Manar, Tunis, Tunisie.

Il s'agit d'une patiente âgée de 14 ans, sans antécédents pathologiques notables, ayant une amblyopie anisométrique de l'œil gauche, qui nous a consulté pour correction optique. La meilleure acuité visuelle corrigée (MAVC) de l'œil droit (OD) était à 20/20. Le segment antérieur de l'OD était sans anomalies et nous avons retrouvé au fond d'œil des plages brun noirâtres au niveau de la moyenne et de l'extrême périphérie rétinienne, planes, bien limitées, contrastant avec la couleur de la rétine saine adjacente (**Figure 1A**), et faisant évoquer des noirs sans pression. Sur les clichés en autofluorescence, ces plages apparaissaient hypoautofluorescentes, bien circonscrites (**Figure 1B**). L'imagerie par Swept-Source (SS) OCT a montré une atténuation de la réflectivité de la zone ellipsoïde au niveau des plages foncées, confirmant le diagnostic (**Figure 2**). En SS-OCT angiographie, nous avons retrouvé une majoration de l'intensité du signal en regard des noirs sans pression (**Figure 3**). L'examen de l'œil gauche a montré une MAVC à 2/20 avec une atrophie rétinienne.

Le noir sans pression correspond à une zone rétinienne circon-

scrite de la moyenne périphérie rétinienne, plus foncée que la rétine environnante. Il se manifeste chez les patients jeunes et peut disparaître au cours de la croissance [1]. Sa cause demeure incertaine et aucune histopathologie n'est disponible dans la littérature. Le développement de l'imagerie rétinienne moderne, en particulier l'OCT, a permis de mieux comprendre le site anatomique de ces lésions en visualisant l'atténuation de la zone ellipsoïde au niveau des zones foncées [2].

Références

- [1] Flores Pimentel MA, Duncan JL, de Alba Campomanes AG, Moore A. Dark without pressure retinal changes in a paediatric age group. *Eye (Lond)*. 2021 Apr;35(4):1221-1227.
- [2] Moysidis SN, Koullis N, Ameri H, Matsunaga D, Yi J, Isozaki VL, Kashani AH, Olmos de Koo LC. Multimodal imaging of geographic areas of retinal darkening. *Retin Cases Brief Rep*. 2015 Fall;9(4):347-51.

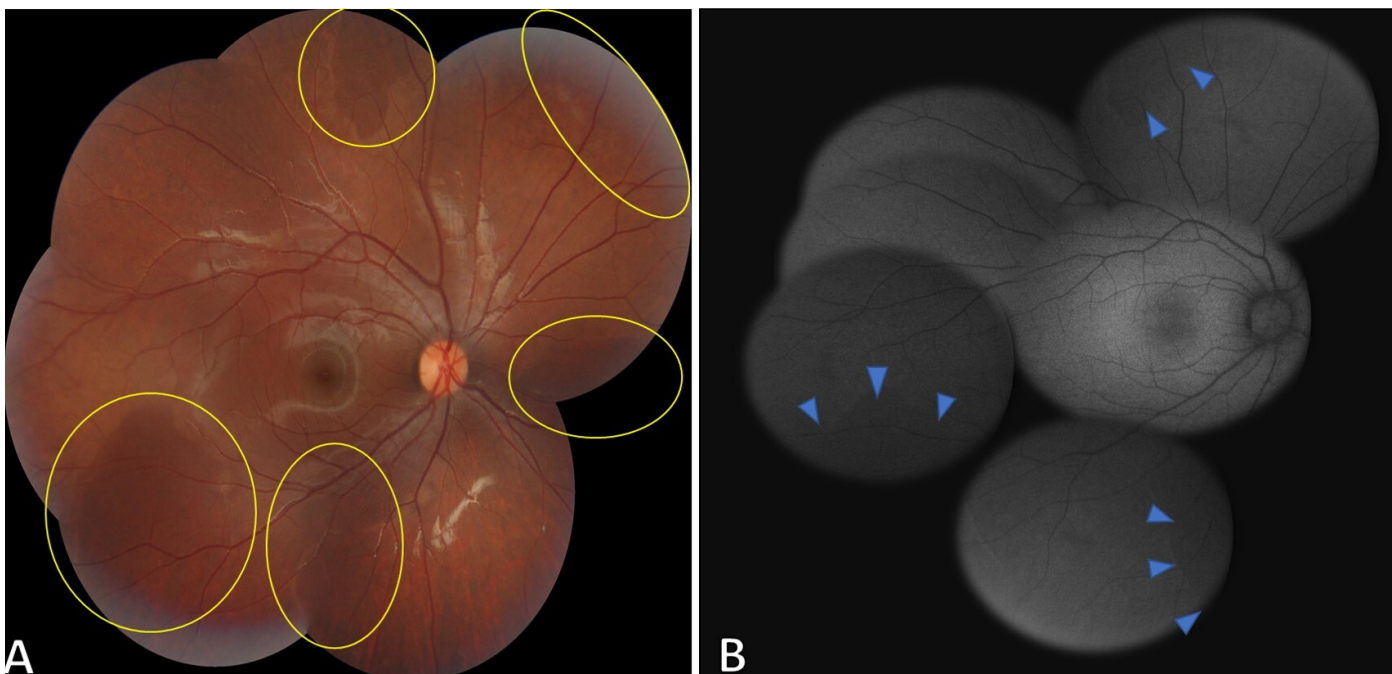


Figure 1. (A) Assemblage en mosaïque des photographies du fond d'œil droit montrant la présence de plages rétinienne brun noirâtres, géographiques, à limites nettes au niveau de la moyenne et de l'extrême périphéries rétinienne (cercles jaunes). (B) Reconstruction des clichés en autofluorescence montrant des zones hypoautofluorescentes correspondant aux noirs sans pression avec des limites bien nettes (têtes de flèches bleues).

*Auteur correspondant :

Safa Ben Aoun

Email : safa.bn.aoun@gmail.com

Service d'Ophtalmologie, Hôpital Habib Thameur, Tunis, Tunisie

Faculté de Médecine de Tunis, Université Tunis el Manar, Tunis, Tunisie.

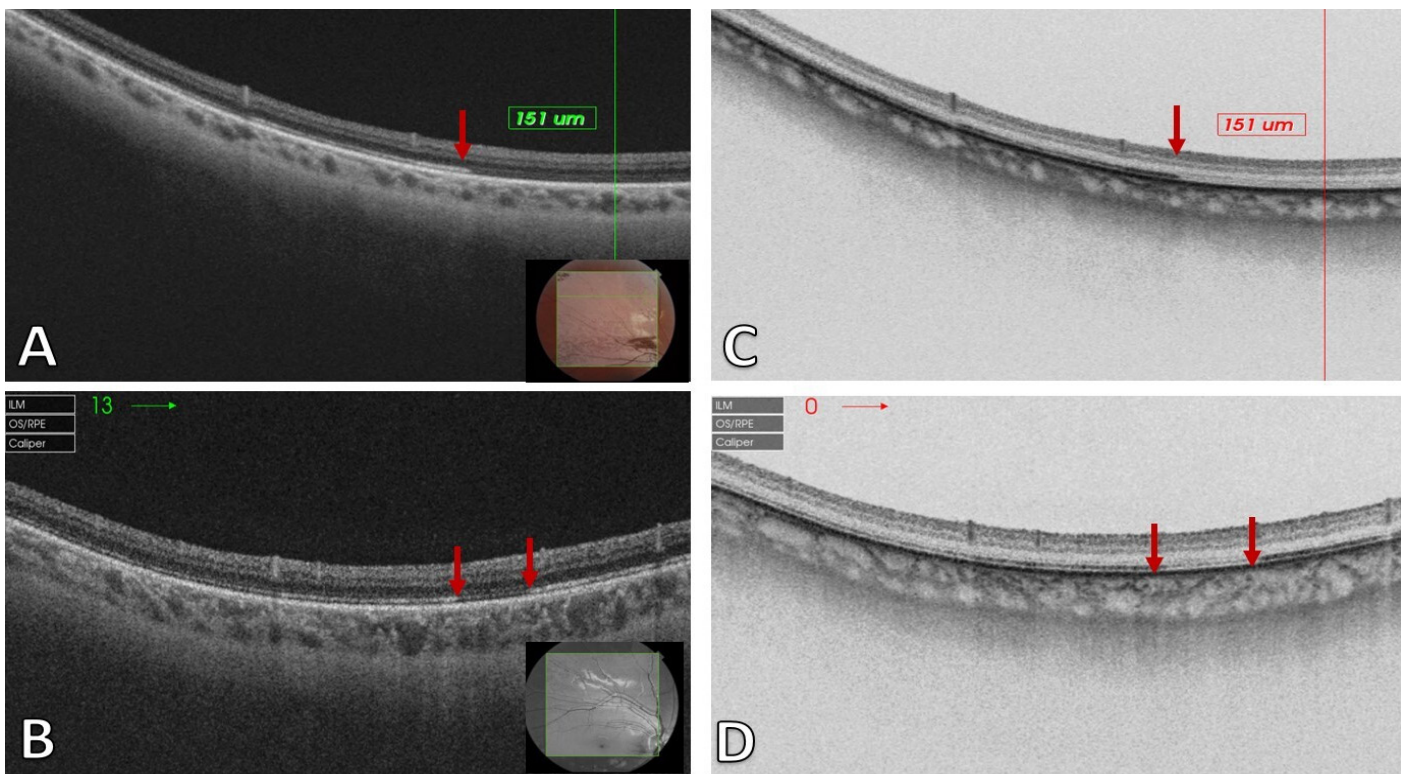


Figure 2. (A,B) Swept source OCT (DRI Triton, Topcon) de l'œil droit montrant le niveau transitionnel du changement de réflectivité de la zone ellipsoïde (Flèches rouges). (C,D) La diminution de la réflectivité de la zone ellipsoïde au sein du noir sans pression est plus nette sur les clichés avec inversion des tons de gris.

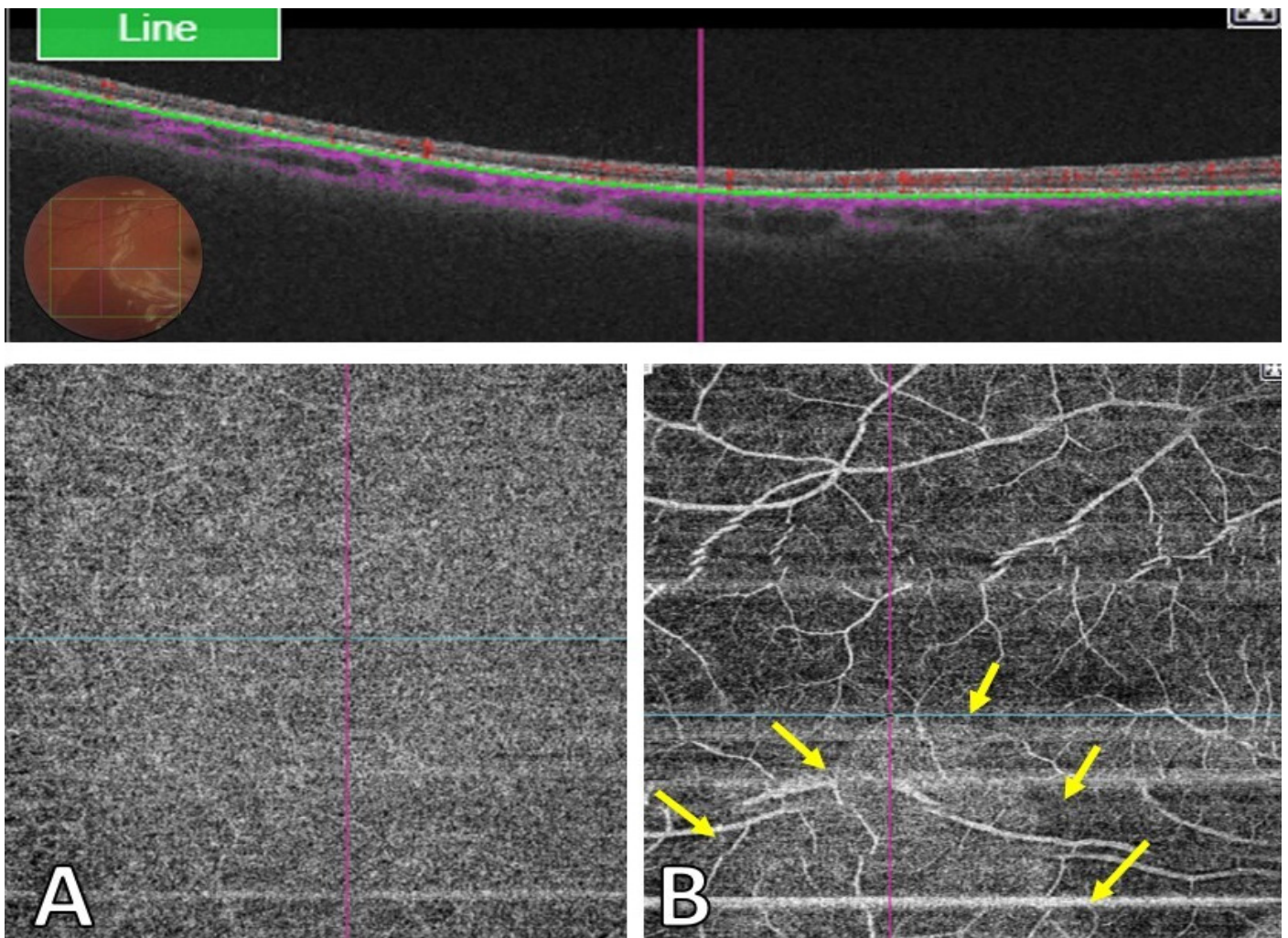


Figure 2. OCT angiographie (OCT-A) 9 x 9 mm passant par le noir sans pression. (A) OCT-A de la choriocapillaire sans anomalies visibles. (B) Segmentation manuelle au niveau de la zone ellipsoïde montrant une augmentation de l'intensité du signal au niveau du noir sans pression (flèches jaunes).